

# 空間モービライズド面にもとづいた土の応力-ひずみ関係と降伏・破壊条件

京都大学防災研究所 正員 松岡 元

土の変形が、土粒子が最も滑動すると考えられるモービライズド面上のせん断・垂直応力比によって支配されるという考え方と、せん断時の土粒子の挙動の微視的な解析にもとづかれて述べている。<sup>1), 2)</sup> これは、土が広い意味での摩擦則に従う材料であるという考え方につながるものである。これは、新たに提案してある3次元応力空間における「空間モービライズド面（Spatial Mobilized Plane；略称SMP）」<sup>3)</sup>なる応力面にモービライズすれば、相異なる3主応力下の応力-ひずみ特性から破壊条件まで統一的に規定できることを主張する。

まず、空間モービライズド面の定義を述べる。一般に相異なる3有効主応力 $\sigma_1, \sigma_2, \sigma_3$ が作用する場合には、Mohrの応力円はFig. 1のように3個描ける。それぞれ3個の応力円に原点から直線が接する点は、各2主応力軸間においてせん断・垂直応力比( $\tau/\sigma_N$ )が最大の応力面といふことになる。土粒子の挙動が摩擦則、すなわちせん断・垂直応力比によって支配されるものとすると、これらの応力面は意味のある面になる。この3個の応力面を3主応力 $\sigma_1, \sigma_2, \sigma_3$ を3軸として表示すると、Fig. 2のAC, AB, BCとなるが、これを3辺とする応力面ABCに着目し、これを空間モービライズド面と名付ける。このSMPが3主応力軸を切る点の応力値は、

$$\tan\{45^\circ + (\phi_{moij}/2)\} = \sqrt{(1+\sin\phi_{moij})/(1-\sin\phi_{moij})} = \sqrt{\sigma_i/\sigma_j} \quad (i, j = 1, 2, 3; i < j) \quad \text{---(1)}$$

Fig. 2に示すように各主応力値のルートの割合にはる。したがって、等方応力状態では正八面体面に一致し、応力の変化とともに変化する性質もつていい。またその物理的意味は、土粒子が3次元応力空間において平均的に最も滑動する応力面と考えられる。なお、SMPの法線方向余弦( $a_1, a_2, a_3$ )は次のように表される。 $a_i = \sqrt{J_3}/(\sigma_i J_2) \quad (i=1, 2, 3) \quad \text{---(2)}$  ここで、 $J_1, J_2, J_3$ は有効応力の1次、2次、3次の不变量である。 $J_1 = \sigma_1 + \sigma_2 + \sigma_3, J_2 = \sigma_1\sigma_2 + \sigma_2\sigma_3 + \sigma_3\sigma_1, J_3 = \sigma_1\sigma_2\sigma_3 \quad \text{---(3)}$

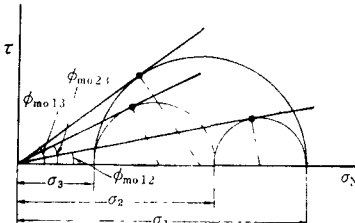


Fig. 1 Mohr's stress circle and 3 mobilized planes.

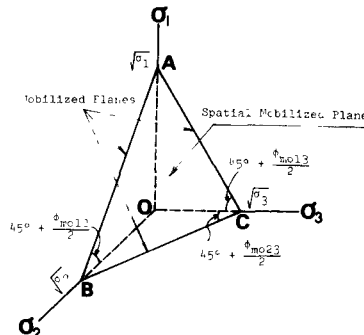


Fig. 2 Spatial Mobilized Plane and 3 mobilized planes.

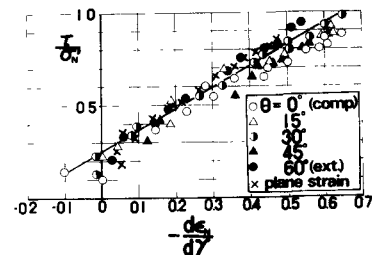


Fig. 3 Toyoura sand's SMP上的 $\sigma_N$ - $\sigma_N/\sigma_N$ 関係.

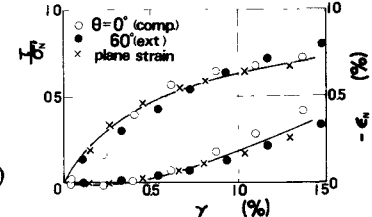


Fig. 4 Toyoura sand's SMP上的 $\sigma_N$ - $\gamma$ - $\epsilon_N$ 関係.

さて、(2)式を考慮すれば SMP 上の垂直応力  $\sigma_N$  とせん断応力  $\tau$  は次のようになされる。

$$\sigma_N = 3J_3/J_2 \quad \dots \dots \dots (4), \quad \tau = \sqrt{J_1 J_2 J_3 - 9J_3^2}/J_2 \quad \dots \dots \dots (5)$$

$$\therefore \tau/\sigma_N = \sqrt{(J_1 J_2 - 9J_3)/(9J_3)} \quad \dots \dots \dots (6)$$

また、主応力比主ビズミ増分の方向が一致りより仮定すれば、SMP 上の垂直ビズミ増分  $d\epsilon_N$  およびせん断ビズミ増分  $d\epsilon_T$  は次式で与えられる。

$$d\epsilon_N = (J_3/J_2) \cdot \{ (d\sigma_1/\sigma_1) + (d\sigma_2/\sigma_2) + (d\sigma_3/\sigma_3) \}^2 \quad \dots \dots \dots (7)$$

$$d\epsilon_T = 2(J_3/J_2) \cdot \sqrt{\{ (d\sigma_1 - d\sigma_2)^2/\sigma_1 \sigma_2 \} + \{ (d\sigma_2 - d\sigma_3)^2/\sigma_2 \sigma_3 \} + \{ (d\sigma_3 - d\sigma_1)^2/\sigma_1 \sigma_3 \}} \quad \dots \dots \dots (8)$$

$\Sigma = 2^\circ$ 、豊浦砂(層詰め)の多軸試験データと上式を利用して SMP 上の  $\tau/\sigma_N \sim d\epsilon_N/d\epsilon_T$  関係および  $\tau/\sigma_N \sim \theta \sim \epsilon_T$  関係を整理した結果をそれぞれ Fig. 3, 4 に示す。Fig. 3 において、 $\theta$  は正八面体面上の半徑方向の応力経路の角度である。また、 $\theta = 0^\circ$  は三軸圧縮、 $\theta = 60^\circ$  は三軸伸張試験を意味し、その他の角度は多軸試験 ( $\sigma_1 > \sigma_2 > \sigma_3$ ) を意味している。

なお、X印は平面ビズミ試験と表わしている。Fig. 4 は、種々の応力条件下の試験結果が大略  $\Sigma = -1$  の直線上に整理されるのが示され、モービライズド面上の基本式<sup>1)</sup>:  $\tau/\sigma_N = \lambda \cdot (-d\epsilon_N/d\epsilon_T) + \mu$  はほぼ成立するようである。また Fig. 4 より、層詰め砂といふことと初期の粒子構造がほぼ同じであると考えられる場合には、三軸圧縮、伸張、平面ビズミ試験の結果があわむね同一のカーブの上にプロットされることが示される。なお、Fig. 3, 4 と同様の整理を正八面体面上で行なうと、 $\Sigma$  は七傾向をもつて変化し、 $\Sigma = -1$  の関係にはならなくなる(当日、スライドにて発表)。

次に、もし SMP 上の  $\tau/\sigma_N$  がある一定値に達したとき、土が破壊するものとするとき、(6)式より、 $J_1 \cdot J_2 / J_3 = \text{const.}$  つまり破壊条件を得る。二つの破壊条件を正八面体面上で表示すると、Fig. 5 が示すように破線で示された Mohr-Coulomb の破壊条件を表す六角形に外接する曲線状となり、実測値の傾向によく説明できる。なお、Fig. 6 に示すように SMP 上の Mohr-Coulomb の条件と本提案条件を表わせば、面積  $\Sigma = -1$  にそれぞれ正六角形と円となつ(当日、説明)。一方、周知のように Tresca と von Mises の条件は 正八面体面上でそれぞれ正六角形と円となつことがわかるので、图中に示すように 4 破壊条件の対応関係が直感的にも理解される。

最後に、豊浦砂の多軸試験に協力と保た本学大学院生 北村良介氏に感謝しよう。

引用文献: 1) Matuoka (1974a): A Microscopic Study on Shear Mechanism of Granular Materials, Soils and Foundations, Vol. 14, No. 1, pp. 29-43. 2) Matuoka (1974b): Stress-Strain Relationships of Sand Based on the Mobilized Plane, Vol. 14, No. 2, pp. 47-61. 3) Matuoka and Nakai (1974): Stress-Deformation and Strength Characteristics of Soil under Three Different Principal Stresses, Proc. JSCE, No. 232, pp. 59-70.

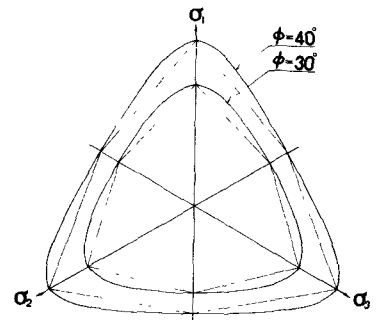


Fig. 5 新たに提案した破壊条件(実線)と Mohr-Coulomb の破壊条件(破線)

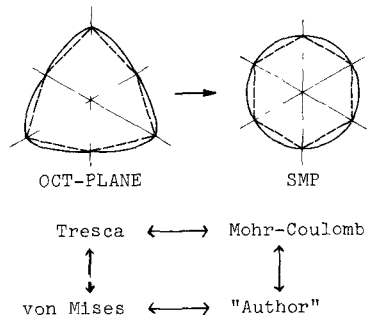


Fig. 6 SMP 上で表示した本提案条件と Mohr-Coulomb 条件、および 4 破壊条件の対応関係